

16 クラックの進展を考慮できる新しい離散化モデルの構造非線形問題への応用

分子高専O11 端康洋, 東大近藤一夫, 東川井忠彦

現在有限要素法による構造非線形問題の解析は、原理的には確立され、あらゆる構造分野に於て有力な数値解析の手段として欠かせないものとなっている。しかし例えば、接触、圧壊、ヒリ、クラックの伝播等のような要素境界上での現象を含め構造非線形問題への応用には困難な点も少なくない。本論では、構造非線形問題の主要なパラメータである非弾性、亀裂、安定性の3つを同時に考慮できる新しい離散化モデルを示し、この要素モデルの構造非線形問題への応用について、簡単な例題を用いて検討して結果を報告する。

1. 新しい離散化モデル（剛体スプリングモデル；川井モデル）

このモデルは、Fig.1に示すような有限個の微小な大きさの剛体要素の集合体と、それらの接触境界面上に限なく分布したスプリングによって構成されている。スプリングは、個々に要素が変形するとした場合にその内部に貯えられる菱形の歪エネルギーを、その接触境界面上に集約的に表現するものであると考える。ここで用いられる要素は、その重心点に於ける剛体と同一の自由度に対応する3次元では6個、2次元では3個の変位成分で表められる。従つて1要素当たり、一般に 6×6 のサブマトリックスの剛性行列から3次元体モデルを表現するのに用いられる。このモデルでは、構造要素の弾性、塑性、破壊（圧壊、ヒリ、破断）等の挙動を、その要素境界面上のスプリングの特性の変化によって表めようとするものである。すなまち、スプリングには垂直応力に抵抗するものと、剪断応力に対するものの2種類があり、その特性には弾性、降伏（塑性）、破断（圧壊）の3つの場合が考慮されている。すれ、基本的に要素と要素はその接触境界面で連結されるだけであるから、2次元の要素が同時に結合されることが少しく、その支配方程式（剛性方程式）の係数行列のバンド幅が縮小され、計算時間も短縮される。以下の3次元、2次元、1次元（線-柱）の要素について具体的に述べる。

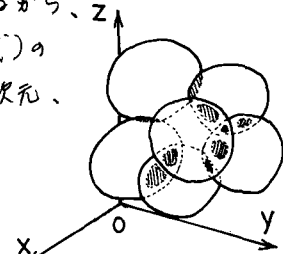


Fig.1
1-1. 3次元解析のための四面体要素 本論で用いられる要素は、その形状に關係なく6個の自由度を有しており、任意形状の要素について考えることは全く自由である。ここでは最も基本的な曲面四面体要素について述べる。

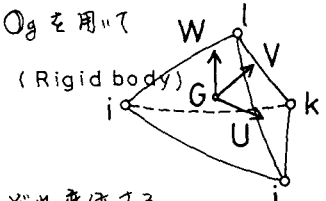
他の形状の要素についても同様の定式化が可能である。まず対象物は、Fig.2に示す四面体要素の集合体としてモデル化されているものとし、その内からFig.3に示す代表的な3つの一般的な接触境界面を有する3つの要素(I, II)を取り出して考える。今剛体の力学から、要素の重心Gの平行移動ベクトルを U_{lg} 、変形前後の座標変換行列を T とすれば、要素内の任意点の変位ベクトル U は次式で与えられる。

$$U = U_{lg} + (T - I) \cdot (R - R_g) \quad (1)$$

ここで R は (R - R_g) の軸、重心 G は 3 次元任意点の位置ベクトルを表す、I は単位行列である。

(1) 式は、微小変形を仮定すれば、重心 G を中心の微小回転ベクトル O_g を用いて次のように表わされる。

$$U = U_g + O_g \times (r - r_g) \quad (1)$$



さて外力の作用により、接触している要素は、Fig 4のようにそれぞれ変位する。そこで接触境界面上の P 点の変形後の位置を、それぞれ P' , P'' [$\underline{U}, \underline{V}, \underline{W}, \theta, \phi, \chi$] とすれば、 P 点の相対変位ベクトルの各成分は次式で示される。

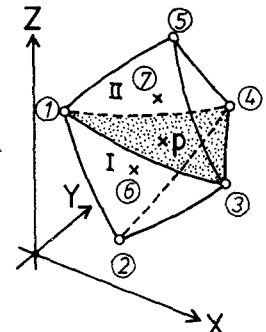
$$(\vec{P} \vec{P}'')_x = X'' - X' = U_{II} - U_I \quad (2)$$

$$(\vec{P} \vec{P}'')_y = Y'' - Y' = V_{II} - V_I \quad (3)$$

$$(\vec{P} \vec{P}'')_z = Z'' - Z' = W_{II} - W_I \quad (4)$$

あるいは、Fig 5 に示すように境界面上の局部座標系を考慮ならば、次式のように表わされる。 $d_d = \bar{W}_{II} - \bar{W}_I$

$$\left. \begin{array}{l} d_{sx} = \bar{U}_{II} - \bar{U}_I \\ d_{sy} = \bar{V}_{II} - \bar{V}_I \end{array} \right\} \quad (5)$$



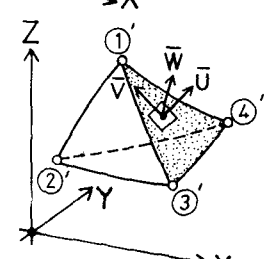
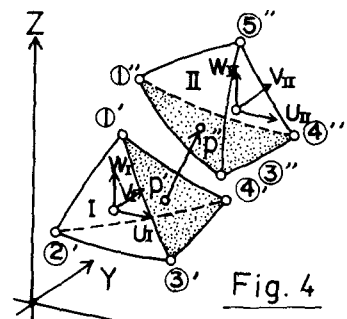
$\therefore d_d$ および d_{sx} , d_{sy} は、それぞれ相対変位ベクトル $\vec{P} \vec{P}''$ の接触境界面上の任意の接平面における法線方向成分と接線方向成分である。そしてこの相対変位成分 d_d は、2つの要素の重心点の変位ベクトル U_i を用いて次式で表わされる。

$$d_i = M_i \cdot I_R \cdot Q_i \cdot U_i \quad (6)$$

$$M_i = \begin{bmatrix} \bar{U}_I & \bar{V}_I & \bar{W}_I & \bar{U}_{II} & \bar{V}_{II} & \bar{W}_{II} \\ 0 & 0 & -1 & 0 & 0 & 1 \\ -1 & 0 & 0 & 1 & 0 & 0 \\ 0 & -1 & 0 & 0 & 1 & 0 \end{bmatrix}$$

$$I_R = \begin{bmatrix} l_1 & m_1 & n_1 & 0 & 0 & 0 \\ l_2 & m_2 & n_2 & 0 & 0 & 0 \\ l_3 & m_3 & n_3 & 0 & 0 & 0 \\ 0 & 0 & 0 & l_1 & m_1 & n_1 \\ 0 & 0 & 0 & l_2 & m_2 & n_2 \\ 0 & 0 & 0 & l_3 & m_3 & n_3 \end{bmatrix}$$

$$Q'_i = \begin{bmatrix} U_g & V_g & W_g & \theta_g & \phi_g & \chi_g \\ 1 & 0 & 0 & 0 & (z - z_g) & -(y - y_g) \\ 0 & 1 & 0 & -(z - z_g) & 0 & (x - x_g) \\ 0 & 0 & 1 & (y - y_g) & (x - x_g) & 0 \end{bmatrix}$$



である。

ただし \mathbf{Q} は、要素内の任意点 P と重心 G の座標を表す \mathbf{Q}' をサブマトリックスとする 6×12 のマトリックスである。次にこれら2要素の変位成分 U_i に対応する拘束バネをFig.6のように設定すれば、2要素間の相対的変形以下を歪エネルギーは、これらの分布バネに貯えられることがわかる。歪成分を次のようには定義する。

$$\mathbf{E} = \frac{\mathbf{d}(x, y, z)}{h(x, y, z)} = \frac{1}{h(x, y, z)} \mathbf{M} \cdot \mathbf{R} \cdot \mathbf{Q} \cdot \mathbf{U}_i = \mathbf{B} \cdot \mathbf{T} \cdot \mathbf{U}_i \quad (7)$$

$$\mathbf{E}^T = [E_z, E_{xz}, E_{yz}]$$

ここで、 $h(x, y, z)$ はFig.7に示すように、接触境界面上のP点の接平面に対して各々の重心点 G_I , G_{II} から下に垂線の和をとる。

以上から、接触境界面上に分布するバネ群に貯えられる歪エネルギーは次式で計算される。

$$U = \frac{1}{2} \int_A (\mathbf{T}^T \mathbf{B}^T \mathbf{D} \cdot \mathbf{B} \cdot \mathbf{T}) dA \cdot \mathbf{U}_i \quad (8)$$

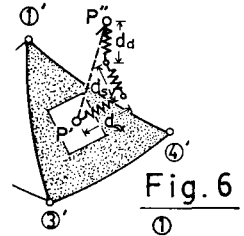


Fig. 6

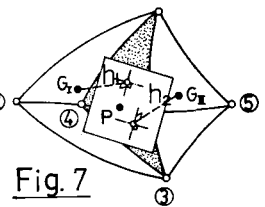


Fig. 7

上式により、2つの要素の重み係数の12個の変位成分で接触境界面上に貯えられる歪エネルギーが求められた。ここで \mathbf{D} は、材料の特性を表すマトリックスであり、 A は接触境界面の面積である。

(8)式中の積分は、一般に数値積分によって求められるが、特に接触境界面が平面であって、更に回転の変位成分を無視できれば、この積分値は接触境界面の面積となり、(8)式が陽に求められる。

また、以上の定式化はスーパー要素として、自然座標系を用いて展開できる。

以降は、通常の有限要素法の手順と同様に、仮想仕事の原理から、次のようない増分形式の釣合方程式が得られる。

$$(\mathbf{K} + \mathbf{K}_0 + \mathbf{K}_G) \cdot \mathbf{d}^* = \mathbf{F}^* - \mathbf{F}_r \quad (9)$$

ここで \mathbf{K} , \mathbf{K}_0 は初期剛性マトリックス、 \mathbf{K}_G は幾何剛性マトリックス、 \mathbf{F}_r は不釣合荷重ベクトル、 \mathbf{F}^* , \mathbf{d}^* は荷重および変位増分である。微小変形を仮定して(9)式を用いると、 \mathbf{K}_0 , \mathbf{K}_G , \mathbf{F}_r は得られないので、 $\mathbf{K} \cdot \mathbf{d}^* = \mathbf{F}^*$ となる。

1-2. 2次元解析のための三角形要素 基本的な考え方は四面体要素と同じである。ここで自然座標系を用いて定式化をすることにする。接触境界線上の任意の点 P の変形後の相対変位 \mathbf{d} と、両要素の重心点の変位 \mathbf{U}_i との関係に、再び(6)式を用いる。ただしエントリックスの内署は若干異なり、次のようになる。要素形状および荷号はFig.8に示されている。

$$\mathbf{d}^T = [d_{11}, d_{12}, \dots, d_{1n}, d_{21}, \dots, d_{2n}, \dots, d_{n1}, d_{n2}, \dots, d_{nn}], \quad \mathbf{U}_i^T = [U_{i1}, V_{i1}, \theta_{i1}, U_{i2}, V_{i2}, \theta_{i2}, \dots, U_{in}, V_{in}, \theta_{in}],$$

$$\mathbf{M} = \begin{bmatrix} 0 & -1 & 0 & 1 \\ -1 & 0 & 1 & 0 \end{bmatrix}, \quad \mathbf{R} = \begin{bmatrix} l_1 m_1 & 0 & 0 \\ l_2 m_2 & 0 & 0 \\ 0 & l_1 m_1 & 0 \\ 0 & 0 & l_2 m_2 \end{bmatrix},$$

$$\mathbf{Q} = \begin{bmatrix} 1 & 0 & \frac{l}{2}(\eta+1)+(y_j-y_g) & 0 & 0 & 0 \\ 0 & 1 & -\frac{l}{2}(\eta+1)-(x_j-x_g) & 0 & 0 & 0 \\ 0 & 0 & 0 & 1 & 0 & \frac{l}{2}(\eta+1)+(y_j-y_g) \\ 0 & 0 & 0 & 0 & 1 & -\frac{l}{2}(\eta+1)-(x_j-x_g) \end{bmatrix}, \quad l = \sqrt{(x_k-x_j)^2 + (y_k-y_j)^2}$$

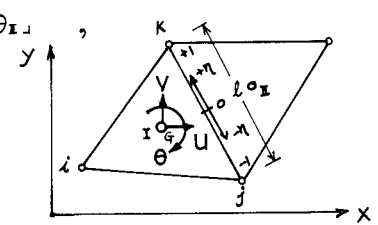


Fig. 8

式(8)の積分は次のようす数値積分を行ふ。

$$\int_A (T^T B^T D B T) dA = x \int_1^l (T^T B^T D B T) \frac{e}{2} dy$$

ここで x は要素の板厚である。回転変位成分 θ_I, θ_{II} を省略して得られる(9)式を陽に積分した結果、参考文献(1)に示されていく。

1-3. 新しい梁柱要素 有限要素を考慮して(1)式から一次元梁要素として次のようす要素が得られる。

本要素は、変形の場をすべて線形の場と定め、2階以上の微分量は差分によってこれを評価する。要素形状と符号について、Fig.9に示されている。

大変形領域における梁柱の変位場は次式で与えられる。

$$U(x, z) = U(z) - x \left\{ 1 - \frac{(1+w'(z))}{\sqrt{(1+w'(z))^2 + (U'(z))^2}} \right\} \\ W(x, z) = W(z) - x \cdot U'(z) / \sqrt{(1+w'(z))^2 + (U'(z))^2}$$

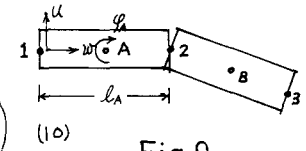


Fig.9

ここで $U(x, z), W(x, z)$ は直角座標の変位であり、 $U(z), W(z)$ は回心上の変位である。

次に歪は、次式で与えられる。

$$\epsilon_z = \sqrt{(1+W')^2 + (U')^2} - 1 = \epsilon_D - x \cdot K \quad (11)$$

ここで、 $\epsilon_D = \sqrt{(1+w')^2 + (U')^2} - 1$ (回心上の歪)、 $K = \frac{\{(1+w')U'' - w''U'\}}{\{(1+w')^2 + (U')^2\}}$ (曲率)である。線形の変位場を用いて次式を用いる。これは自由度については、先の一連のモデルと同じであるが、直角座標の回転変位を、両端部で平行変位を用いて表すのが若干異なる。

$$U_A = (1 - \frac{z}{l_A}) U_{(1)} + z/l_A \cdot U_{(2)} \\ W_A = (1 - \frac{z}{l_A}) W_{(1)} + z/l_A \cdot W_{(2)} \quad (12)$$

(12)式を用いて(11)式を表せば、次のようす非常に簡単な、物理的に極めて把握し易い形となる。

$$\text{トラス的变形; } \epsilon_D = \frac{1}{l_A} \sqrt{(l_A + w_{(2)} - 2w_{(1)})^2 + (U_{(2)} - U_{(1)})^2} \\ \text{折れ曲がり角; } K_{(2)} = \frac{2}{l_A + l_B} (g_A + g_B) \quad (13)$$

この式を用いて、歪エネルギーを計算し、仮想仕事の原理により次の増分形の剛性方程式を得る。

$$(K^D + K^K + K^{DK} + K_G^D + K_G^K) \cdot \Delta U = \Delta Q + \epsilon^D + \epsilon^K \quad (14)$$

ここで上添字 D は ϵ_D は、K は K (曲率) は曲率の意であり、下添字 G は継続剛性 (初期応力) と引くことを意味し、Q は不釣合力を表し、 $\Delta U, \Delta Q$ はそれそれ変位増分、荷重増分である。

得られた(14)式は、(9)式と同一である。また(14)式において、通常求められるひずみ、曲率は導入する初期応力のコトリックスが求められていく。

1-4. 破断(圧壊)を考慮した弾塑性解析法 亀裂の伝播と分接触問題をより扱うべく、従来の有限要素法では要素間のヒリヤー破断を考慮する事が難かしく、異種の要素(例えばブリムエレメントとか)、新しい境界節点を設けてなどして、これらの問題に対処して来た。本法では、原理的に要素間の相対変形による歪エネルギーを計算しておき、要素境界における現象(破断、圧壊、ヒリ等)を一貫して弾性、塑性の延長上に置く事ができる。即ち本法に於いては、弾性、塑性(降伏)、破断、ヒリ等の現象が2種類のバネの特性に集約される事である。ではまず弾性バネの定数の決定から始めよう。

(1). 弹性　　弾性状態にあるばねの特性より、 Δ は次式で与えられる。

$$D_e = E \quad , \quad D_e = \begin{bmatrix} \frac{(1-\nu) \cdot E}{(1-2\nu) \cdot (1+\nu)} & 0 & 0 \\ 0 & 2G & 0 \\ 0 & 0 & 2G \end{bmatrix} \quad 32R\text{元} + 2R\text{元 平面座}$$

$$D_e = \begin{bmatrix} \frac{E}{1-\nu^2} & 0 \\ 0 & 2G \end{bmatrix} \quad \text{2次元平面応力}$$

この特性コリッフスは、要素内の特性が混合の手法により、境界面にバギー lumpされたものを解釈できます。現在、Consistentな特性コリッフスボタンを模討中である。

(2). 塑性 塑性状態にあるバネの特性マトリックスは次式で与えられる。

(假定) 降伏應變率成爲同餘圓數值。 破壞率爲零。

降伏閾数(塑性加工ニヤル)を $f(s_i) = 1$ とす。塑性歪場合を次式の形に表す。

$$\{dE^P\} = \lambda \left\{ \frac{\partial f}{\partial s} \right\} \cdot df$$

塑性変形時の応力増分と歪増分の関係は、次式のように与えられる。

$$D_p = D_e - \frac{[D^e] \left\{ \frac{\partial f}{\partial S} \right\}_L \frac{\partial f}{\partial S_L} \cdot [D_e]}{\frac{\partial f}{\partial S_L} \cdot D_e \cdot \left\{ \frac{\partial f}{\partial S} \right\}} \quad (15)$$

(3). エリ エリ状態にあるばねの特性は、剪断力が摩擦抵抗力を超過した後、以後の剪断抵抗ばねの定数を増加量 γ だけ増進する。

(4). 破壊(圧壊) 圧壊状態に至ったときは、削除される。その代わりに負担している応力は解消される。解放すべき力は、次式で計算される。

$$\mathbf{F}_i = \int_A \mathbf{T}^T \cdot \mathbf{B}^T \cdot \mathbf{f}_o \, dA \quad (16)$$

ニニル(5)は裏地応力であり、(6), (7)は(7)式で示されている。1断面の全重心のバネが破壊の場合、計算上特異行列にはならない、数値計算上では若干の剛性を残しておく必要がある。

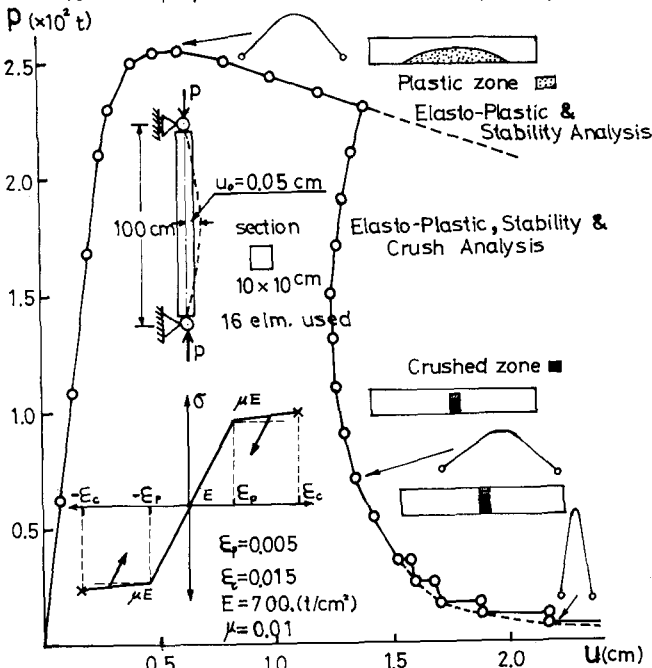
破断(近縁)レベルが存在するとき、荷重増分は次の表を考慮して決定されなければならない。

- ④ 応力解放中に 1 増分荷重ステップ内で他のステップが破断する。
- ④ 荷重増分が過大になると $\gamma = 4$ 。（降伏曲面と移動させられる）
- ④ 降伏角度 $\theta = 70^\circ$ の場合に、 λ の荷重倍率を考慮する。

2. 解析例

本要素を用いて、弾塑性、破壊、大変形を考慮して解析を試みる。比較的簡単な例題であるが、良い結果が得られていく。この手法をより一般的な問題に拡張することは可能であろう。

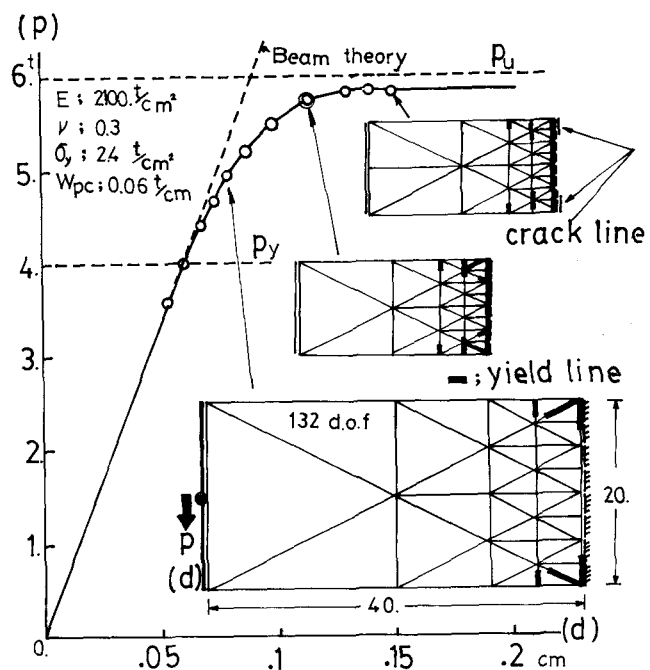
2-1. 筒柱の弾塑性・破壊・大変形解析。 右図に示す軸方向力の作用する筒の弾塑性、圧壊、大変形を考慮して解析を試みる。図中には、圧壊が生じてから、降荷が始まり、終局状態に達するまでの釣合曲線が求められていく。圧壊の判定は、直の大きさにより図中の様な応力～歪曲線を設定して決定する。要素数は 16、要素分割なし、断面内で 20 層の層分割を行なっていく。



2-2. 片持梁の弾塑性、破壊解析。

右図に示す片持梁板の 2 次元弾塑性及び破壊を考慮した解析を試みる。破壊の基準は、塑性仕事に基づく定められた限界塑性仕事 $\alpha = 0.06 \text{ tony cm}^2$ にて解析する。この解析では、破壊が生じてからの釣合曲線は求められないが、荷重は減少していく。すなわち最大耐力が求められたときに止まる。使用した要素は 2 次元解析用の三角形要素で重心法の自由度は (u, v, θ) の 3 成分である。

図中の ② 印表記が破壊の始まりである。破壊は断面の深さ方向に進行するものである。

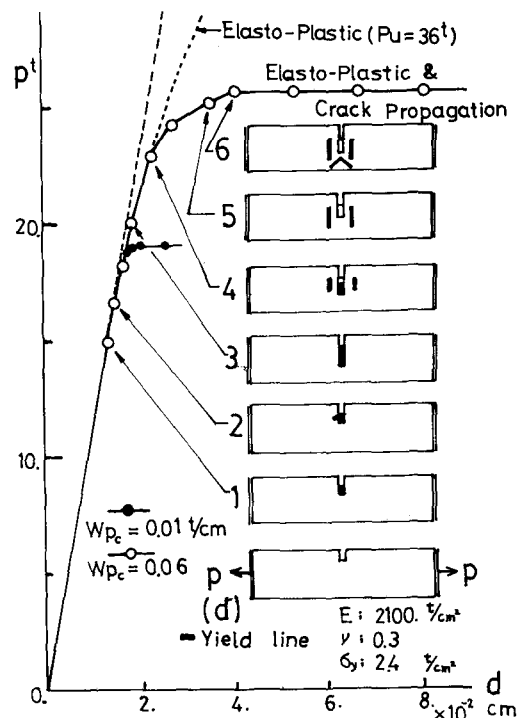


2-3. スリットノッチ付薄板の弾塑性、クラック伝播解析

右図に示す、スリットノッチ付薄板の破断を考慮した弾塑性解析を試みる。破断の判定は、先の例と同じ塑性仕事で行う。図中は2種類の限界塑性仕事の大まきな結果を示す。●印は非常に多くの計算の場合を示す。図中1~6までの各ステージで、塑性域の広がり、クラックの進展の具合が示されている。ステージ3では弾塑性解析である。ステージ4で破断が始まる。急速に剛性が低下し26t程度で破断する。破断を考慮した解析では最高荷重36t程度まで耐えられる。

破断の基準が保たれていないもので、今後の課題として最適化の基準を定める必要がある。

使用した要素分割は、先の片持梁の例と同一である。中央で対称条件を考慮して左を解析している。



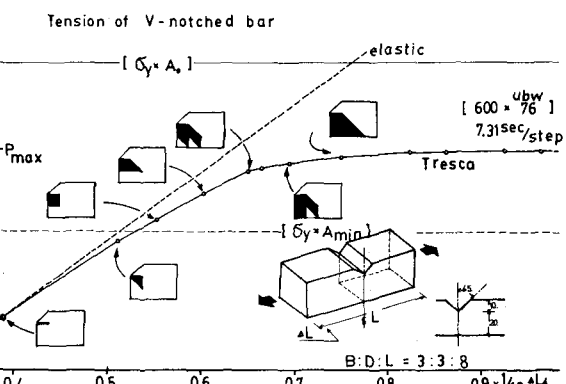
2-4. V-ノッチ付角棒の3次元弾塑性解析

右図に示す、V-ノッチ付角棒の弾塑性解析を試みる。使用した要素は、四面体要素で回転変位成分を省略した3自由度である。

図中、黒く塗った部分が初期の塑性化領域を側面に投影したものである。

結果を2次元解析の結果と比較しているが、良い一致を示している。計算時間も東大大型計算機センタ HITAC 8800/8700 で1step当たり

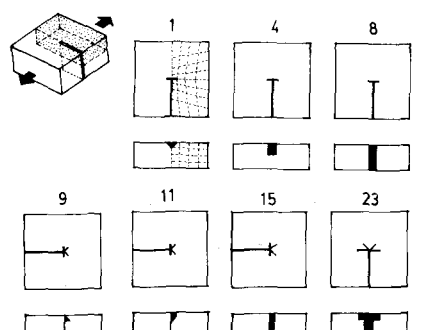
7.31秒と経済的である。自由度×バンド幅は、
600×76である。



2-5. スリットノッチ付厚板の3次元弾塑性解析

四面体要素を用いて、右図に示す厚板の引張解析を試みる。要素数は1300で自由度3200である。HITAC 8700(800KB)を使用して435秒/stepである。連立方程式の解法は、ウェーブロント法である。図中における番号は、解析のステージの番号である。クラック近傍の塑性域の進展が、左側と右側からの投影法により図示されている。通常の方法による結果と同様の傾向を示している。

参考文献 川井忠彦：新しい要素モデルによる3次元体力学諸問題の解析 生研セミナーテキスト 52-7-1~2



APPLICATION OF NEW DISCRETE MODELS TO STRUCTURAL NON-LINER PROBLEMS

- Elasto-Plastic Stress and Crack Propagation Analysis -

Y. KAWABATA,* K. KONDOU,** T. KAWAI**

SUMMARY

Recently, finite element analysis of structural non-liner problems whose theory has been almost established is now indispensable as a useful tool for quite a variety of numerical analysis of engineering structures.

Unfortunately, however, even this procedure encounters serious difficulties in terating structural non-liner problems including effects of contact, stability, slip and crack propagation.

In this paper, a family of new discrete models is proposed by which principal parameters of structural non-liner problems such as inelasticity, crack growth and stability can be considered at the same time, and also its application to structural non-liner problems will be illustrated with several numerical examples.

I. NEW DISCRETE MODEL (RIGID BODY-SPRING MODEL; KAWAI MODEL)

These models consist of finite number of small rigid bodies and springs distributed over the contact area of two neighboring bodies as shown in Fig. 1.

Strain energy to be stored in these models can be represented by that of spring system connecting individual elements.

Since the element is assumed to be rigid, its displacement can be completely expressed by 6 components of the centroidal displacement. Therefore, the size of stiffness matrix per element is always (6 x 6).

In this model, various behaviour of structural element such as elasto-plastic stress and fracture (crush, break) is represented by the change of spring properties on the boundary surfaces. That is to say there are two kind of springs, one is resisting normal stress and the other is shearing stress, and for those spring constants pertinent constitutive equation can be employed depending upon the materials considered. There are three features considered, that is, elasticity, yield (plasticity) and break (cruck).

Fundamentally two elements are connected with each other only on their boundary surface, therefore, more than two elements can not be connected at the same time.

Accordingly the band width of coefficient matrix of governing equation (stiffness equation) will be reduced so that considerable reduction of computing time can be expected.

One, two and three dimensional elements will be described in detail in the present paper.

II. EXAMPLE ANALYSIS

Several numerical examples such as a three dimensional block with a through crack under tensile loading, a block with a single v notch under tensile loading, a two dimensional crack analysis of notched rectangular plates under tensile loading and a one dimensional elasto-plastic, stability and crush analysis of Beam-Column are briefly illustrated in the present paper.

* Lecturer, Yonago Technical College.

** Graduate Student, University of Tokyo.

*** Dept. of Mechanical Engineering and Naval Architecture,
Institute of Industrial Science, University of Tokyo, Japan.